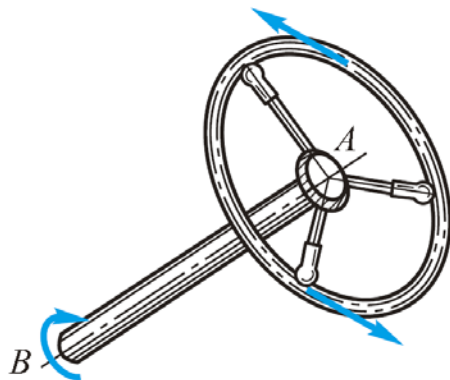
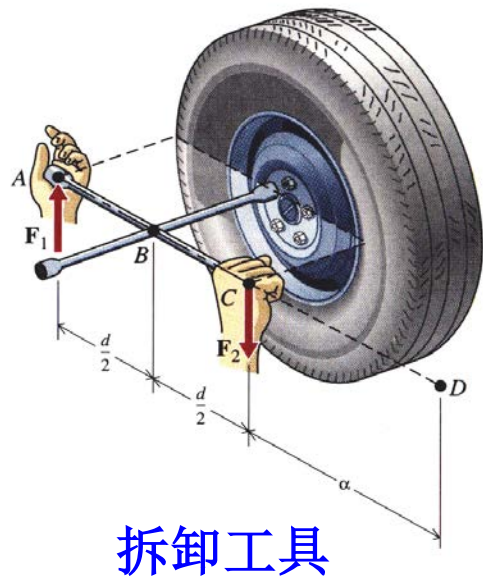


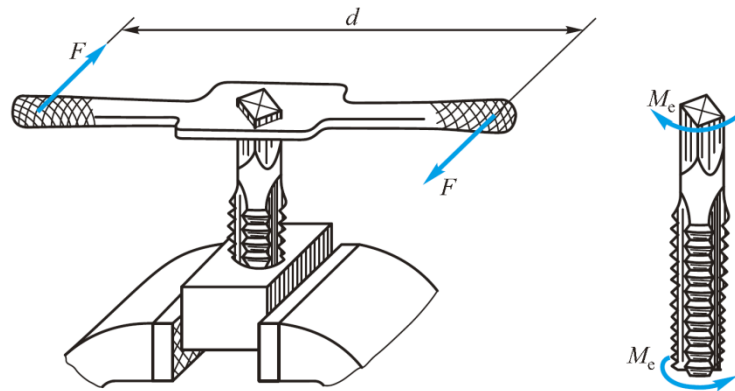
# 第三章 扭转（一）

## 第 8 讲

## § 3.1 扭转的概念及实例



汽车转向轴



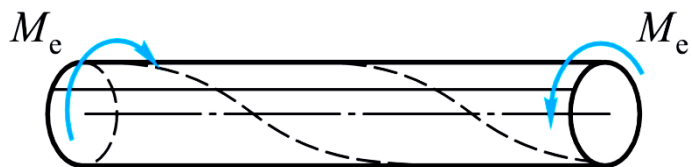
丝锥



传动轴



传动轴

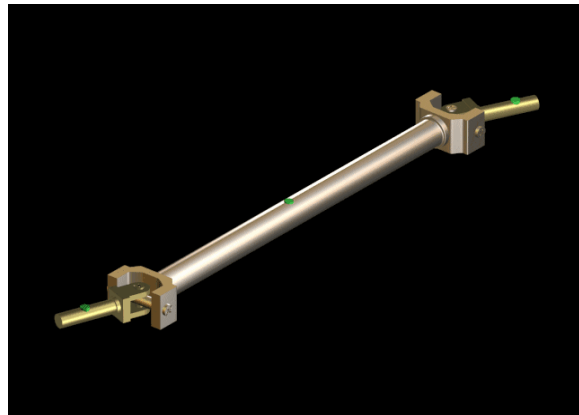
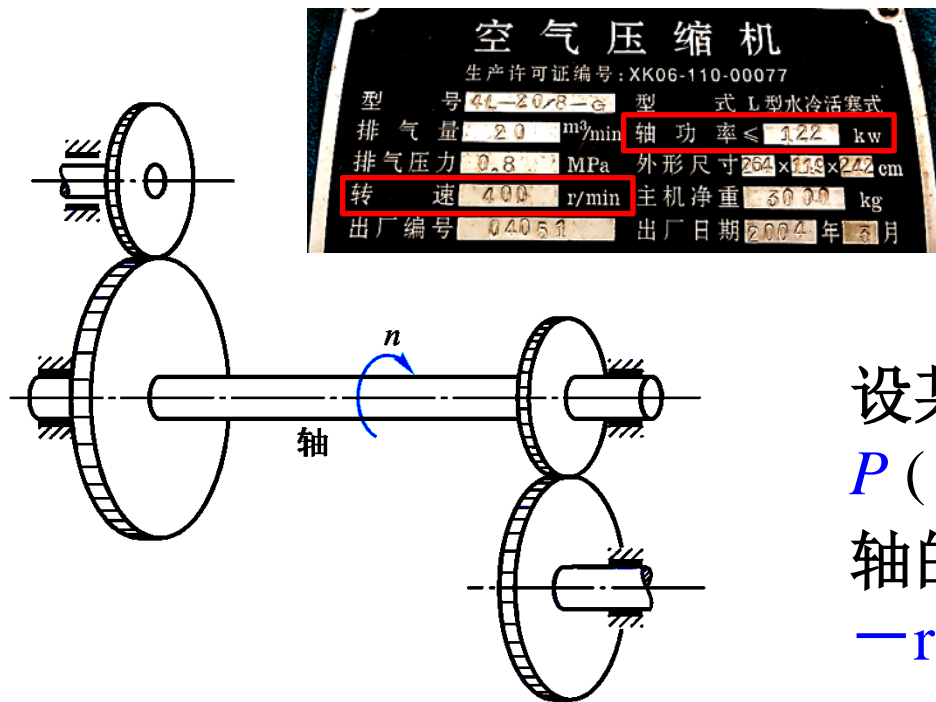


**杆件的受力和变形特征：**

杆件受两个大小相等、方向相反、且作用平面垂直于杆件轴线的力偶。致使杆件的任意两个截面都发生绕轴线的相对转动，这就是扭转变形。

## § 3.2 传动轴的外力偶矩 扭矩 扭矩图

### I、外力偶矩的计算



设某传动轴所传递的功率是  $P$  (单位: kW)

轴的转速是  $n$  (单位: rpm 或 r/min  
—revolution per minute)

## 外力偶矩的计算:

$P(\text{kW})$ 的功率相当于每分钟作功:

$$W_1 = P \times 1000 \times 60 (\text{J}) \quad (1)$$

外力偶矩 $M_e$ 每分钟所作的功:

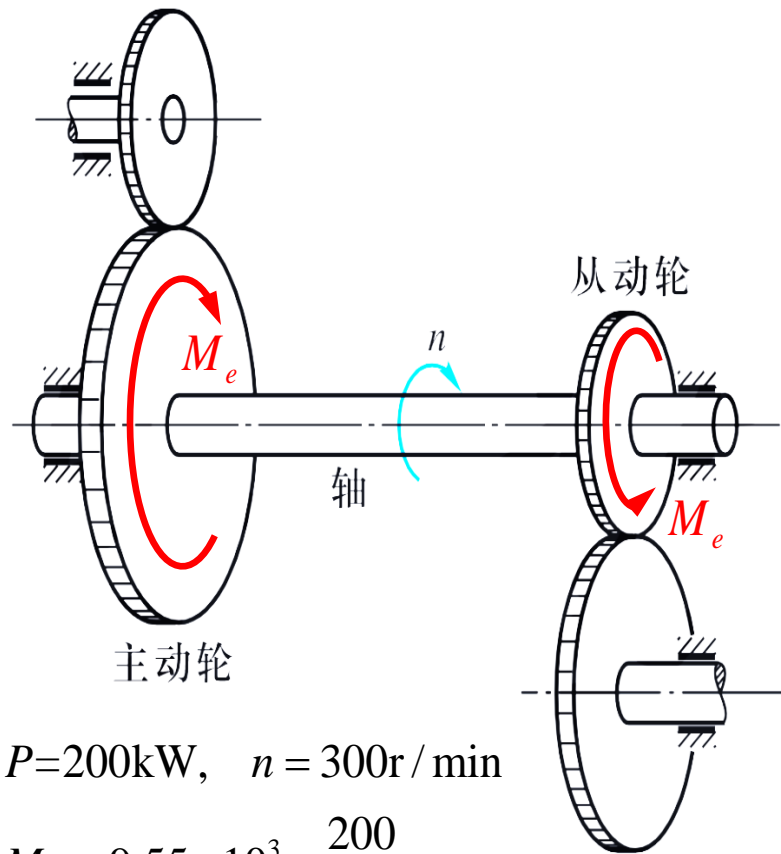
$$W_2 = M_e \cdot 2\pi n (\text{J}) \quad (2)$$

(1)=(2) 得:  $P \times 1000 \times 60 = M_e \cdot 2\pi n$

$$M_e = \frac{P \times 1000 \times 60}{2\pi n} = 9550 \frac{P}{n}$$

$$\{M_e\}_{\text{N}\cdot\text{m}} = 9.55 \times 10^3 \frac{\{P\}_{\text{kW}}}{\{n\}_{\text{r}/\text{min}}} \quad \textcircled{1} \begin{cases} P - \text{kW} \\ n - \text{rpm} \\ M_e - \text{N}\cdot\text{m} \end{cases}$$

① 数值方程式, GB 3101-93

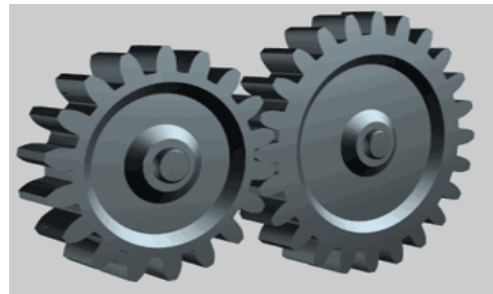
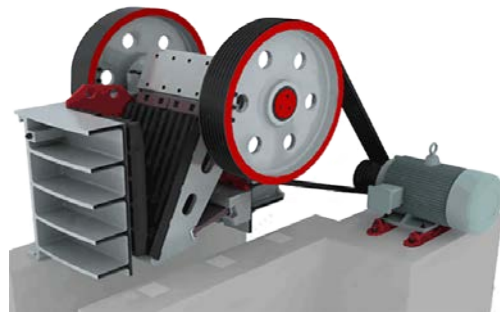
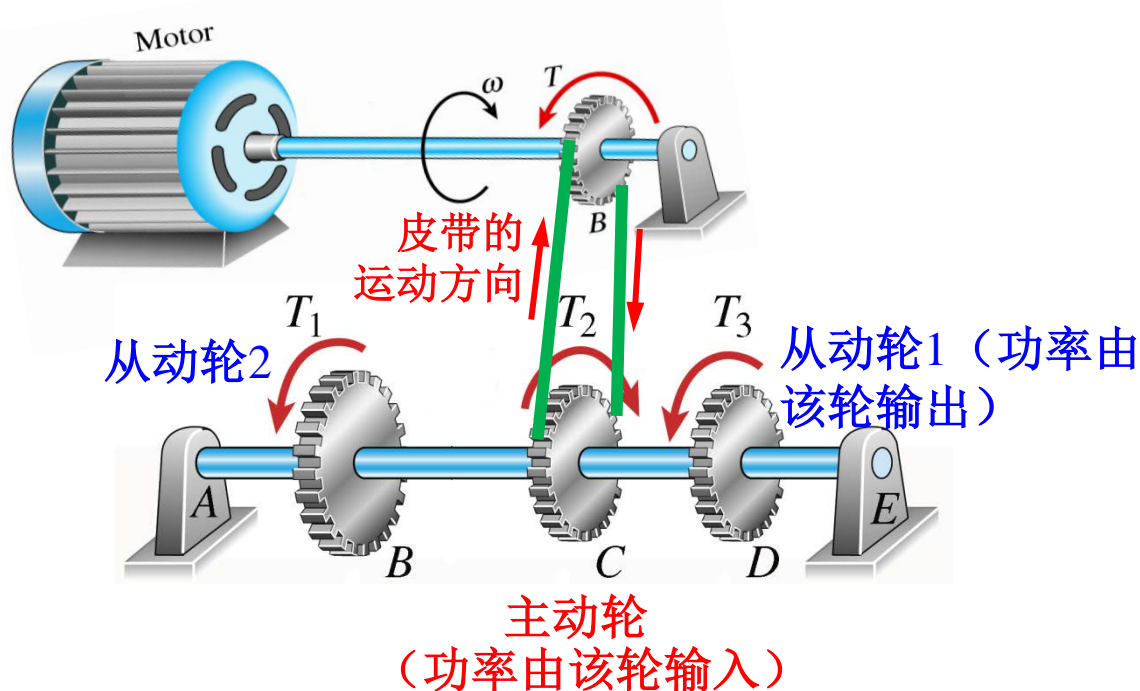


$$P = 200 \text{ kW}, \quad n = 300 \text{ r/min}$$

$$M_e = 9.55 \times 10^3 \times \frac{200}{300}$$

$$= 6.367 \times 10^3 \text{ N}\cdot\text{m} = 6.367 \text{ kN}\cdot\text{m}$$

# 传动轴上外力偶矩的方向



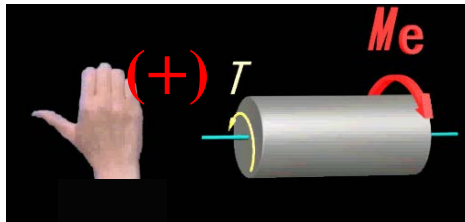
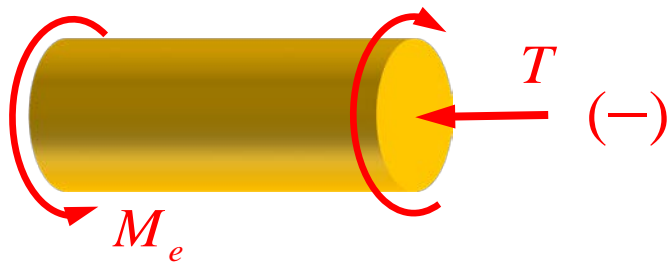
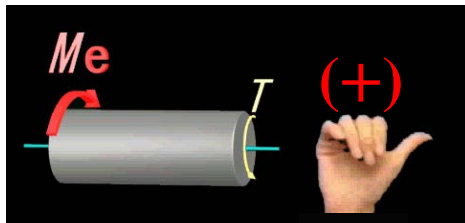
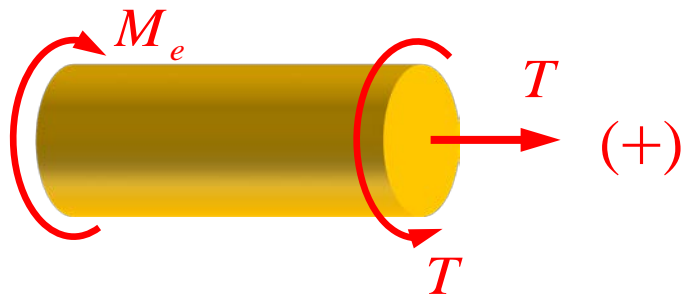
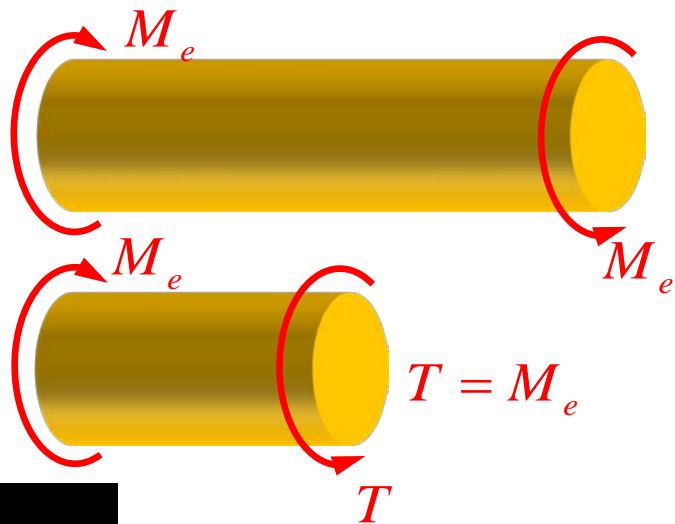
主动轮上的外力偶矩的方向与轴的转动方向相同  
从动轮上的外力偶矩的方向与轴的转动方向相反

## II、扭矩和扭矩图

扭矩:  $T$

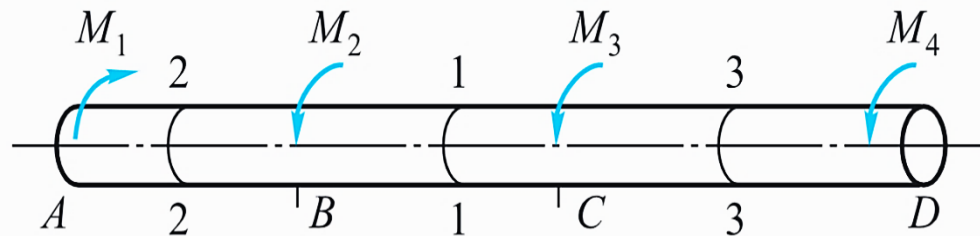
扭矩的正负号规定:

将扭矩按右手螺旋法则用力偶矢来表示, 则当力偶矢的指向离开截面扭矩为正, 反之为负。

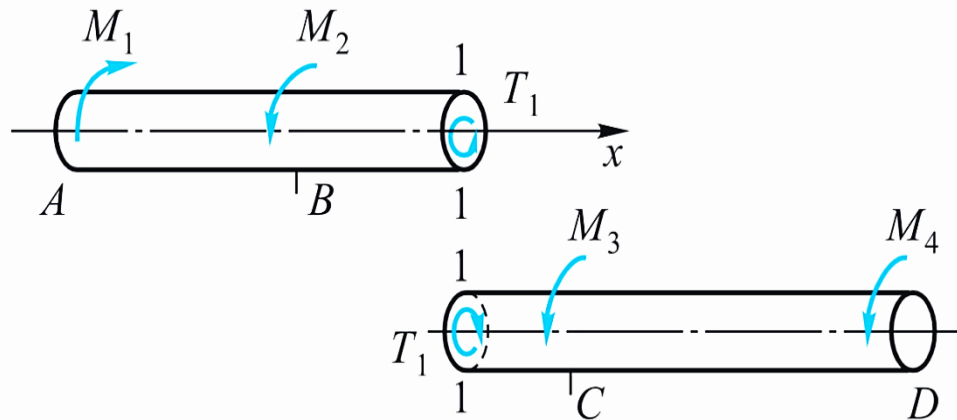


# 扭矩的计算

## 求1-1截面上的扭矩



## 截面法



$$M_1 = 6.0 \text{ kN} \cdot \text{m}, \quad M_2 = 1.0 \text{ kN} \cdot \text{m}$$

$$M_3 = 2.0 \text{ kN} \cdot \text{m}, \quad M_4 = 3.0 \text{ kN} \cdot \text{m}$$

## 取左段分析:

$$T_1 + M_2 - M_1 = 0$$

$$T_1 = M_1 - M_2 = 6.0 - 1.0 = 5.0 \text{ kN} \cdot \text{m}$$

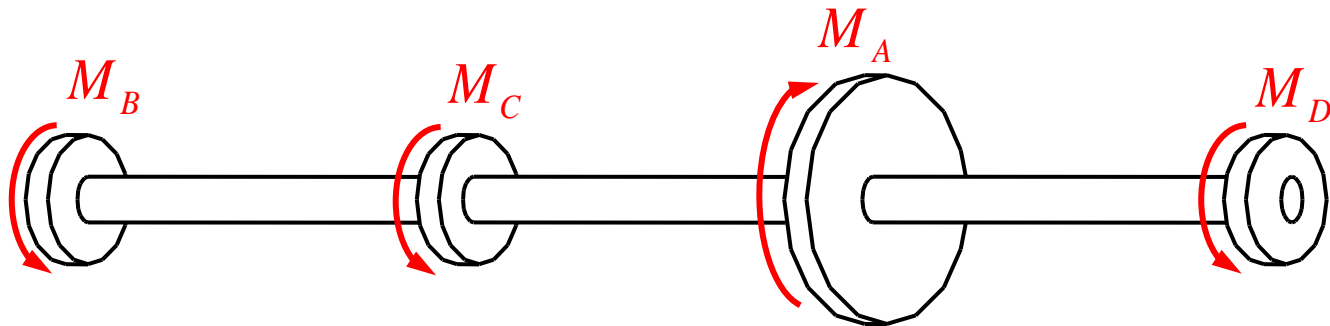
## 取右段分析:

$$T_1 - M_3 - M_4 = 0$$

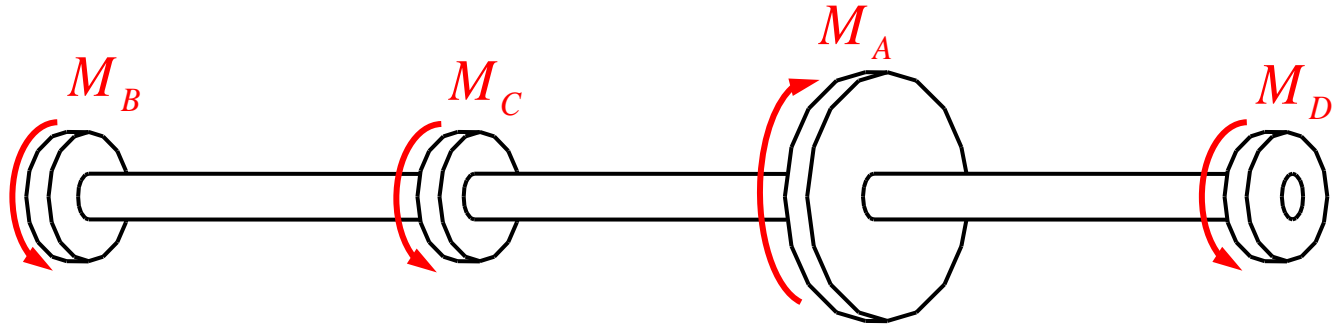
$$T_1 = M_3 + M_4 = 2.0 + 3.0 = 5.0 \text{ kN} \cdot \text{m}$$



例1 图示传动轴，主动轮A 输入功率 $P_A=36.765$  千瓦，从动轮B、C、D输出功率分别为  $P_B=P_C=11.029$ 千瓦， $P_D=14.707$ 千瓦，轴的转速为 $n=300$ 转/分。作轴的扭矩图。



解：  $M_e = 9550 \frac{P}{n} \text{ (N} \cdot \text{m)}$        $P_A = 36.765 \text{ kW}; \quad P_B = P_C = 11.029 \text{ kW}$   
 $P_D = 14.707 \text{ kW}; \quad n = 300 \text{ rpm}$

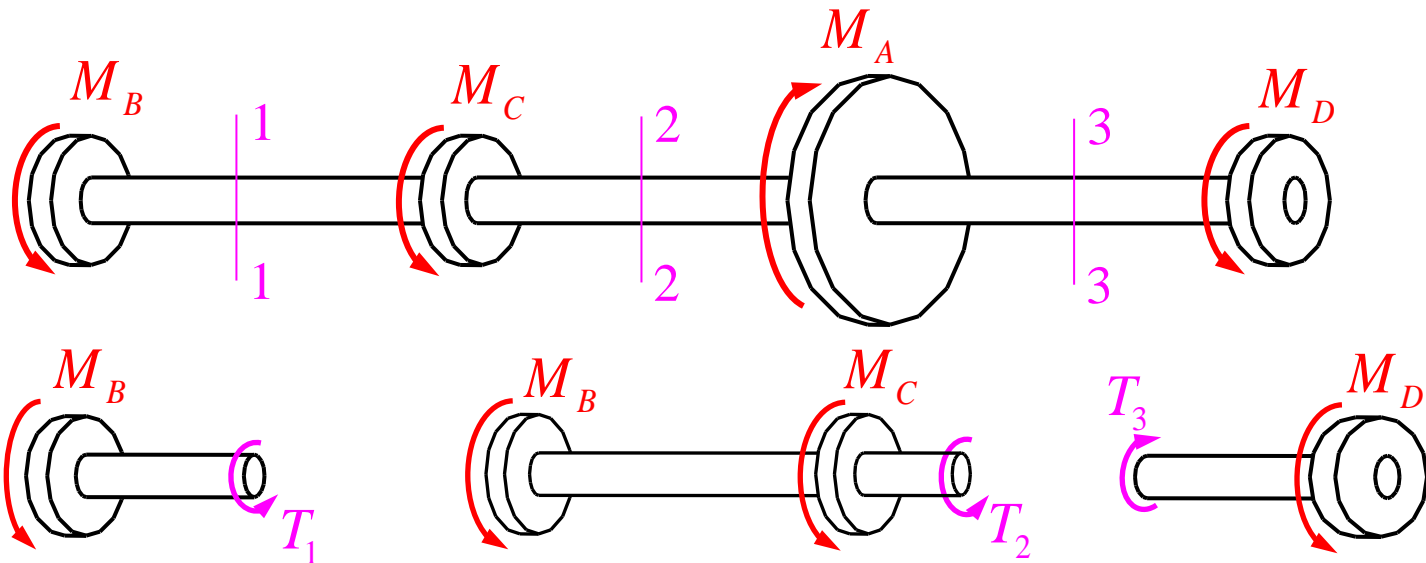


$$M_A = 9550 \frac{P_A}{n} = 9550 \times \frac{36.765}{300} = 1170 \text{ N} \cdot \text{m}$$

$$M_B = M_C = 9550 \frac{P_B}{n} = 9550 \times \frac{11.029}{300} = 351 \text{ N} \cdot \text{m}$$

$$M_D = 9550 \frac{P_D}{n} = 9550 \times \frac{14.707}{300} = 468 \text{ N} \cdot \text{m}$$

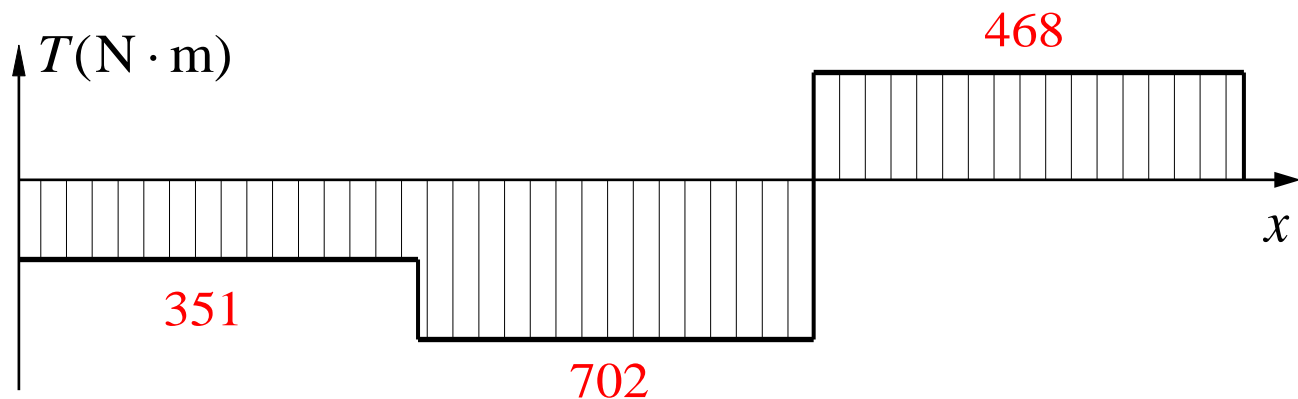
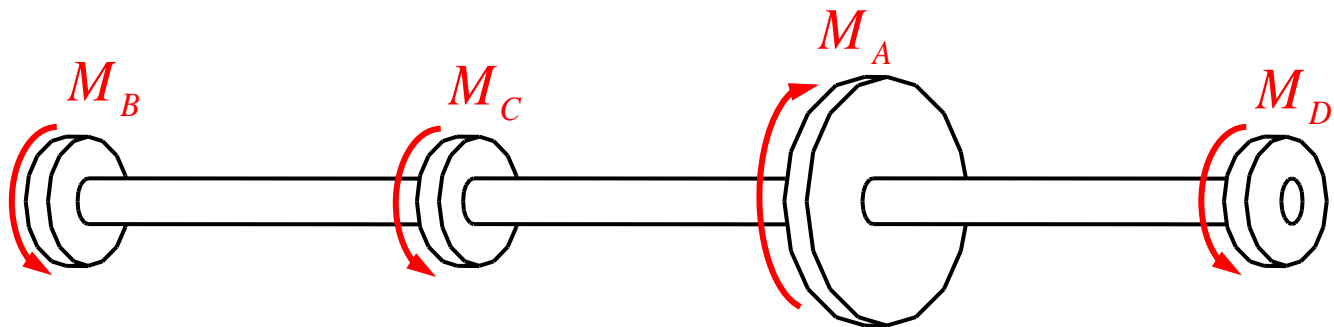
$$M_A = 1170 \text{ N}\cdot\text{m}, \quad M_B = M_C = 351 \text{ N}\cdot\text{m}, \quad M_D = 468 \text{ N}\cdot\text{m}$$



$$\begin{aligned} T_1 &= -M_B \\ &= -351 \text{ N}\cdot\text{m} \end{aligned}$$

$$\begin{aligned} T_2 &= -(M_B + M_C) \\ &= -702 \text{ N}\cdot\text{m} \end{aligned}$$

$$\begin{aligned} T_3 &= M_D \\ &= 468 \text{ N}\cdot\text{m} \end{aligned}$$



$$T_1 = -351 \text{ N} \cdot \text{m}$$

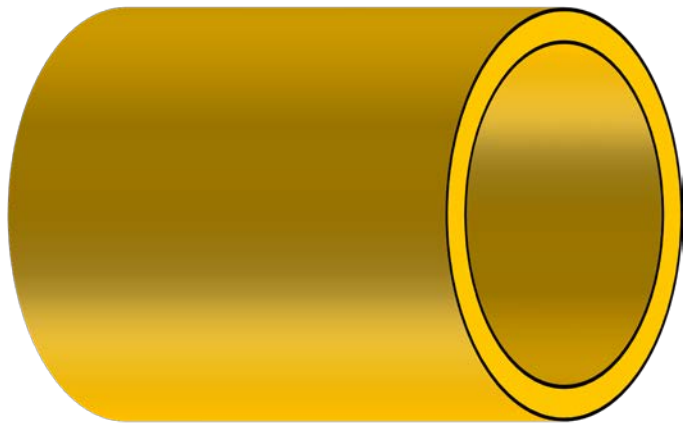
$$T_2 = -702 \text{ N} \cdot \text{m}$$

$$T_3 = 468 \text{ N} \cdot \text{m}$$

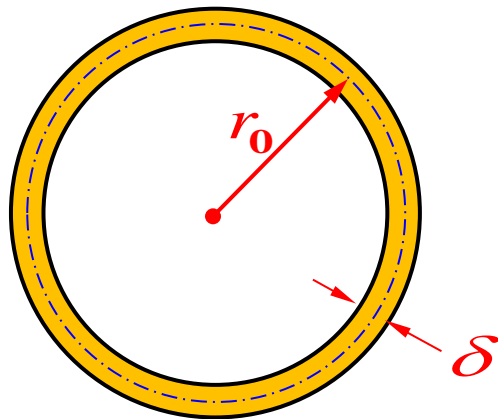
扭矩图

## § 3.3 纯剪切

### 一、薄壁圆筒的扭转应力分析



薄壁圆筒  $\delta \leq \frac{r_0}{10}$



平均半径为  $r_0$ , 壁厚为  $\delta$

# 扭转试验



扭转试样

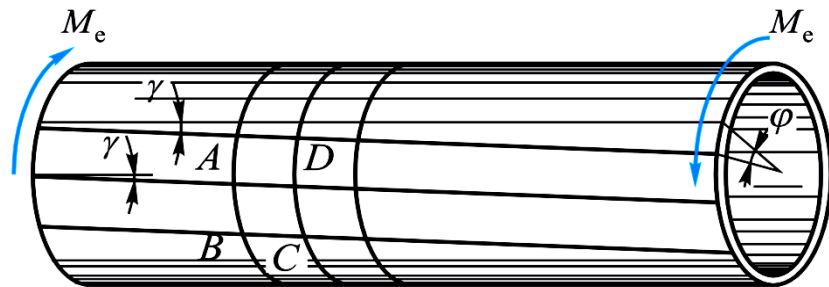
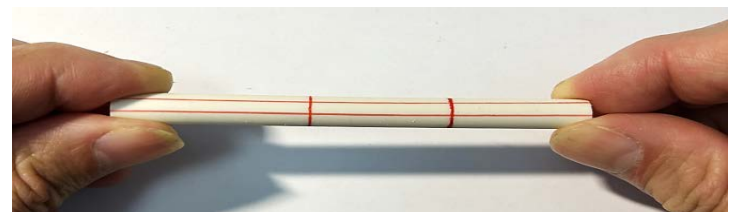
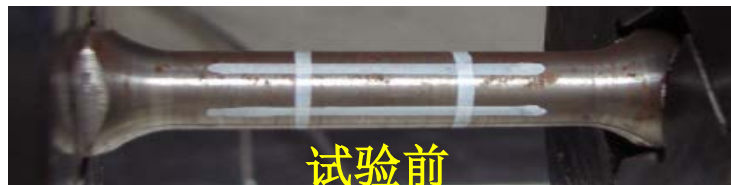


扭转试验机



扭转试验视频

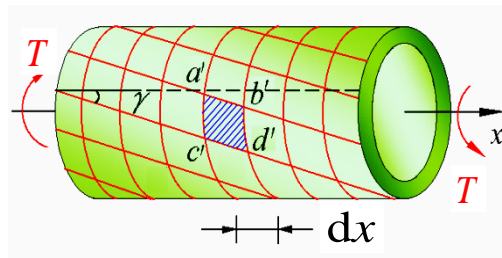
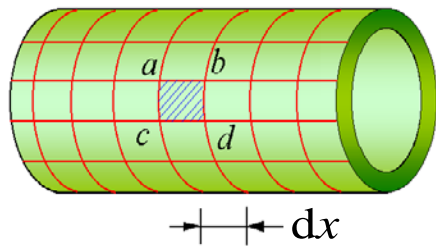
# 扭转试验及现象观察



扭转变形示意图

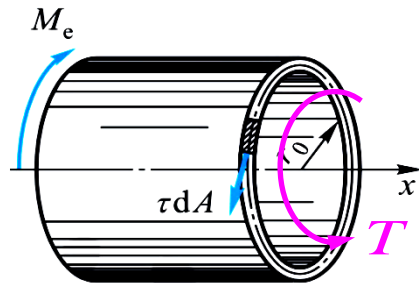
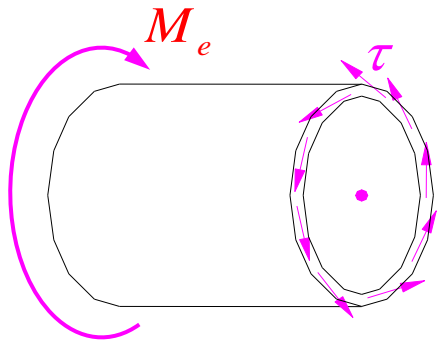
观察到如下现象：

1. 圆周线的形状、大小及圆周线之间的距离没有改变；
2. 纵向线均倾斜了同一角度。



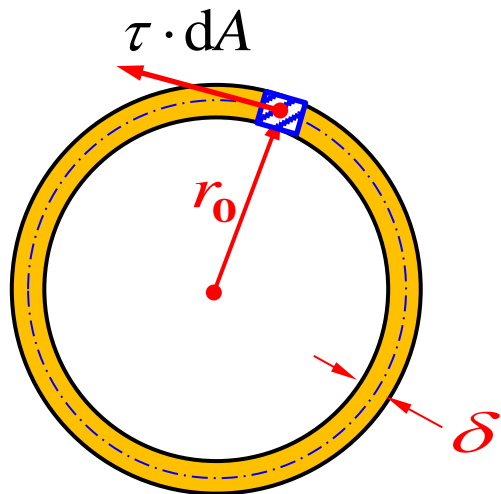
根据以上实验现象，可得结论：

1. 圆筒（杆）横截面上没有正应力，只有切应力；
2. 沿圆周各点的切应力数值上相等，**方向垂直于半径**；
3. 圆筒（杆）横截面上的切应力最终合成扭矩 $T$ 。





## 横截面上切应力



$$\int_{\text{环}} r_0 \cdot \tau dA = T$$

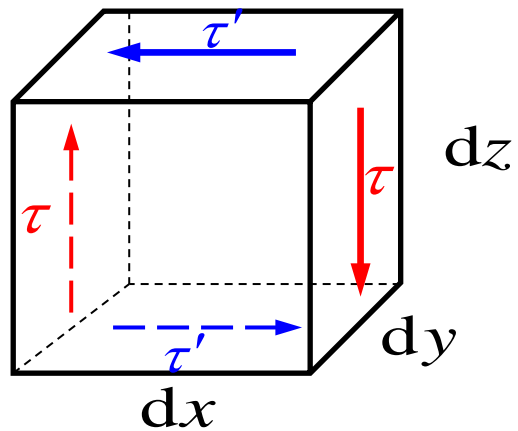
$$r_0 \cdot \tau \int_{\text{环}} dA = T$$

$$r_0 \cdot \tau \cdot 2\pi r_0 \delta = T$$

$$\tau = \frac{T}{2\pi r_0^2 \delta}$$

利用精确理论分析可知，当 $\delta \leq r_0/10$ 时，上式的误差不超过4.52%（< 5%），是足够精确的。

## 二、切应力互等定理



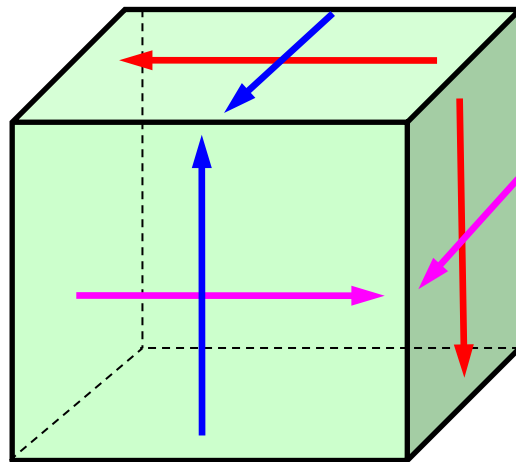
微元体（单元体）  
考虑仅有切应力情形

切应力互等定理：

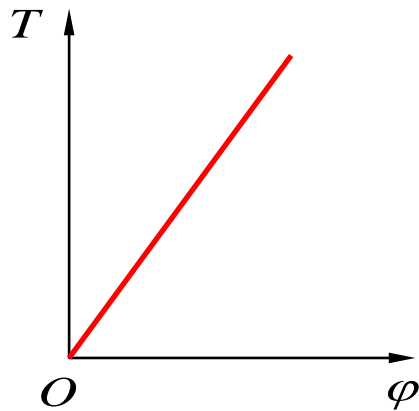
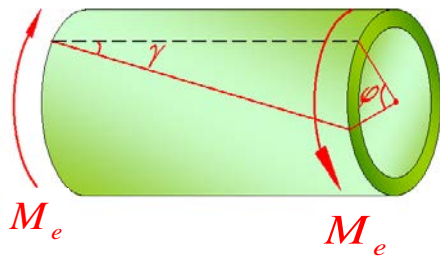
在相互垂直的两个平面上，切应力一定成对出现，其数值相等，方向同时指向或背离两平面的交线。

$$(\tau \cdot dz dy) dx = (\tau' \cdot dx dy) dz$$

$$\tau = \tau'$$

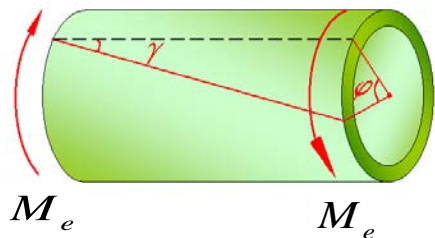


### 三、剪切胡克定律



由实验可观察到：

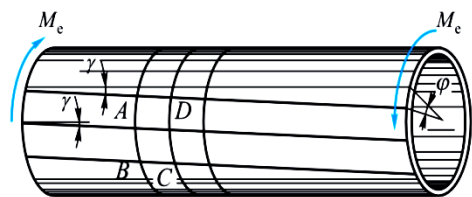
当力偶矩在某一范围内时，**相对扭转角  $\varphi$**  与外力偶矩  $M_e$ （数值上等于扭矩  $T$ ）成正比。



几何关系式（小变形情形）

$$\varphi r = l\gamma \quad (\gamma \text{ 称为切应变})$$

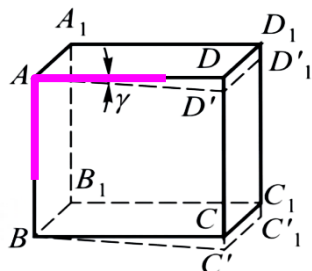
$$\gamma \propto \varphi$$



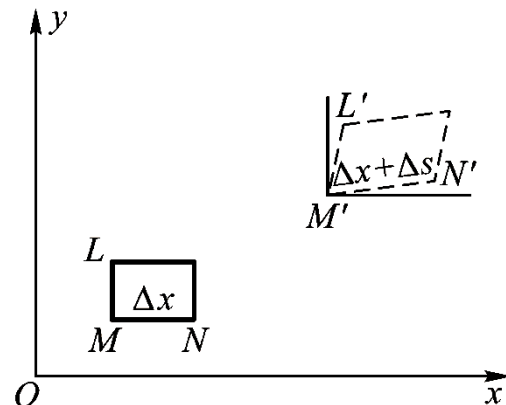
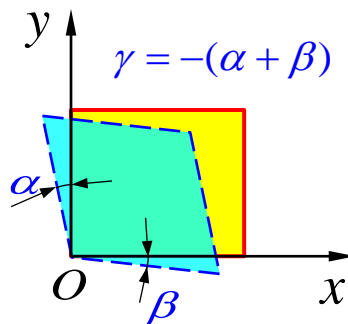
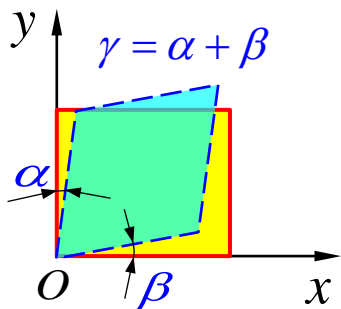
关于切应变的定义（见第一章 第7页）

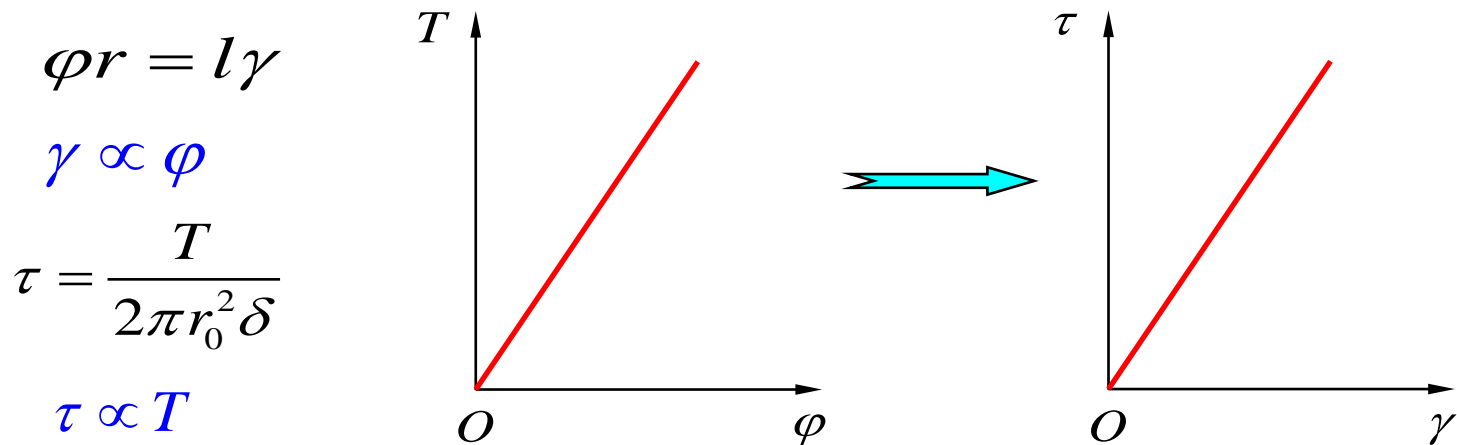
直角的改变量（通常规定直角的减小为正）

$$\gamma = \lim_{\substack{MN \rightarrow 0 \\ ML \rightarrow 0}} \left( \frac{\pi}{2} - \angle L'M'L' \right)$$



$\gamma$  为切应变





薄壁圆筒的扭转实验,证实了切应力与切应变之间存在线性关系,即当切应力不超过材料的剪切比例极限  $\tau_p$  时,切应力与切应变成正比  $\tau = G\gamma$  称为剪切胡克定律

$G$  称为材料的切变模量。

$$\tau = G\gamma$$

$G$  的单位（国际单位制）：  $\text{N/m}^2$ （Pa）；

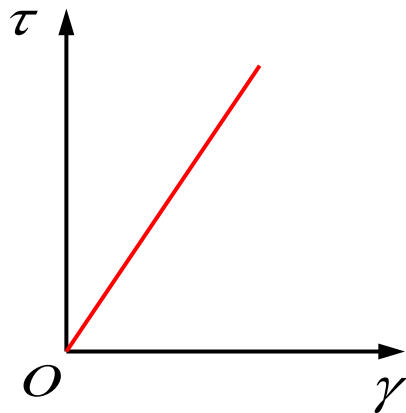
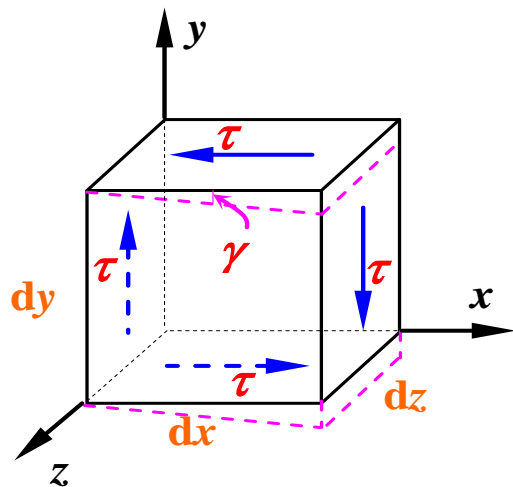
钢材的切变模量值约为  $G=80 \text{ GPa}$

材料常数 { 切变模量  $G$   
杨氏模量  $E$   
泊松比  $\mu$

对于各向同性材料, 可以证明:  
 $E$ 、 $G$  和  $\mu$  三个弹性常数之间  
存在着如下关系

$$G = \frac{E}{2(1 + \mu)}$$

## 四、剪切应变能



在线弹性范围内，单元体上外力做功

$$dW = \frac{1}{2}(\tau dydz) \cdot \gamma dx = \frac{1}{2} \tau \gamma dx dy dz$$

$$v_{\varepsilon} = \frac{dV_{\varepsilon}}{dV} = \frac{dW}{dx dy dz} = \frac{1}{2} \tau \gamma$$

应变能密度（纯剪切）

$$v_{\varepsilon} = \frac{1}{2} \tau \gamma$$

$$v_{\varepsilon} = \frac{\tau^2}{2G} \longleftrightarrow v_{\varepsilon} = \frac{1}{2} G \gamma^2$$

扭转情形应变能计算：

$$V_{\varepsilon} = \iiint_V v_{\varepsilon} dV$$

## § 3.4 等直圆杆扭转时的应力

### 一、横截面上的应力



从三方面考虑 { 几何关系  
物理关系  
静力关系



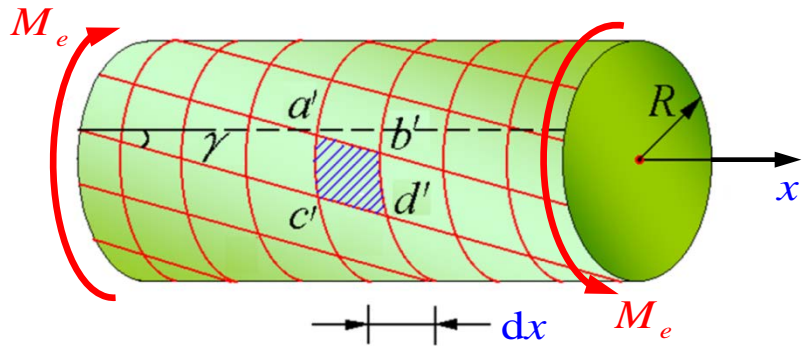
## 1. 几何关系

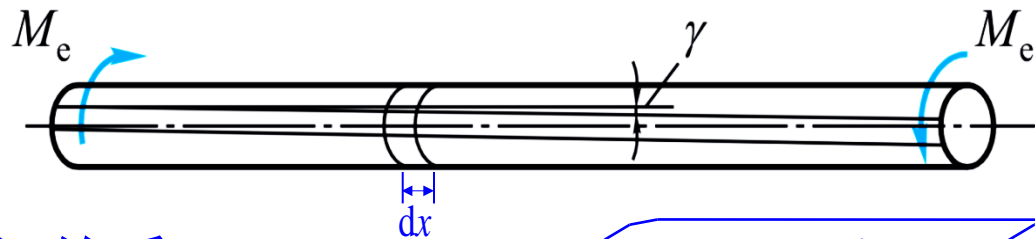
观察到下列现象：

- 1) 各圆周线的形状、大小以及两圆周线间的距离没有变化；
- 2) 纵向线仍近似为直线，但都倾斜了同一角度；
- 3) 变形前为平面的横截面变形后仍为平面，它像刚性平面一样绕杆的轴线旋转了一个角度。

平面假设

(只适用于等直圆杆)





## 几何关系

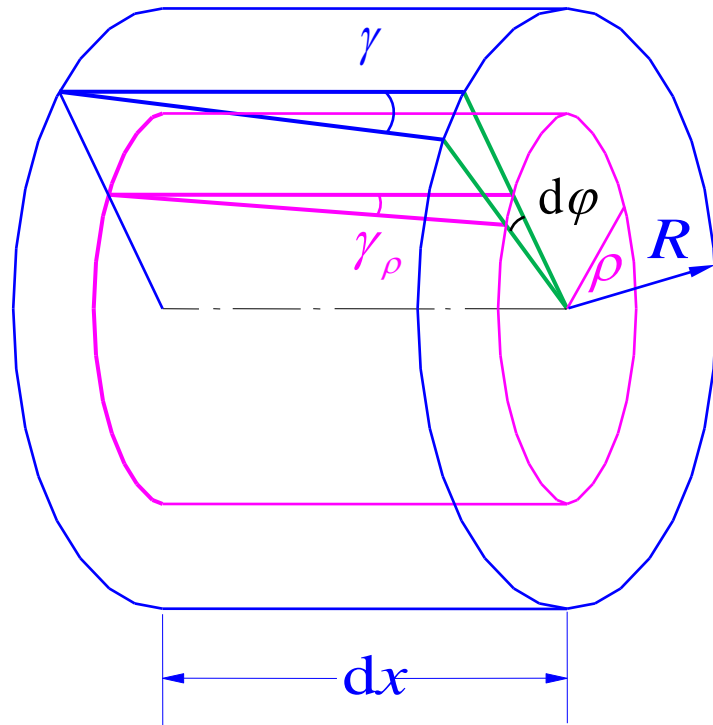
$$\gamma_{\rho} dx = \rho d\varphi$$

↓

$$\gamma_{\rho} = \rho \frac{d\varphi}{dx}$$

↓ 在外表面

$$\gamma = R \frac{d\varphi}{dx}$$



## 2. 物理关系

根据剪切胡克定律，当切应力不超过材料的剪切比例极限时

$$\tau_{\rho} = G\gamma_{\rho} \Rightarrow \tau_{\rho} = G\rho \frac{d\varphi}{dx}$$

$$\gamma_{\rho} = \rho \frac{d\varphi}{dx}$$

切应力方向垂直于半径

## 3. 静力关系

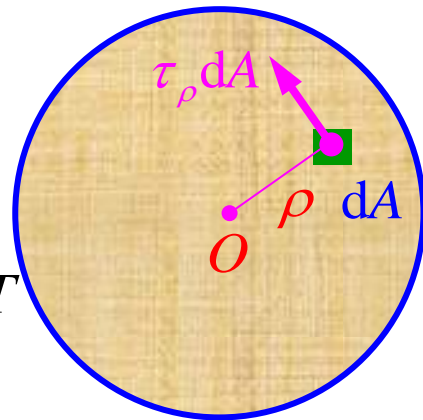
$$\int_A \rho \cdot \tau_{\rho} dA = T \Rightarrow \int_A \rho \cdot G\rho \frac{d\varphi}{dx} dA = T$$

$$\frac{d\varphi}{dx} = \frac{T}{GI_p} \quad \Longleftrightarrow \quad GI_p \frac{d\varphi}{dx} = T \quad \Longleftrightarrow \quad G \frac{d\varphi}{dx} \left[ \int_A \rho^2 dA \right] = T$$

$$\tau_{\rho} = G\rho \frac{d\varphi}{dx} = G\rho \frac{T}{GI_p} = \frac{T\rho}{I_p}$$

$$\text{令 } I_p = \int_A \rho^2 dA$$

$I_p$  — 极惯性矩

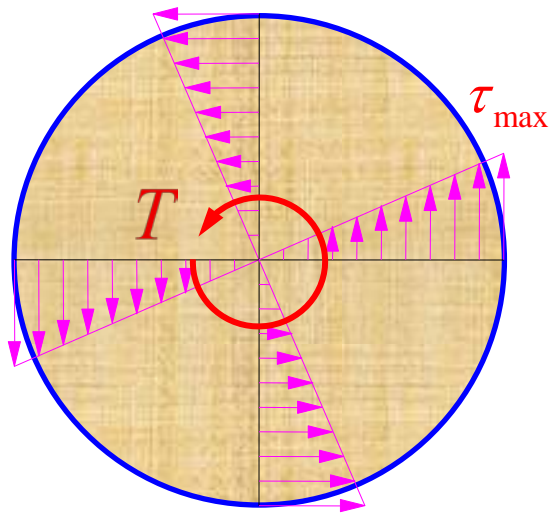


# 扭转切应力的分布

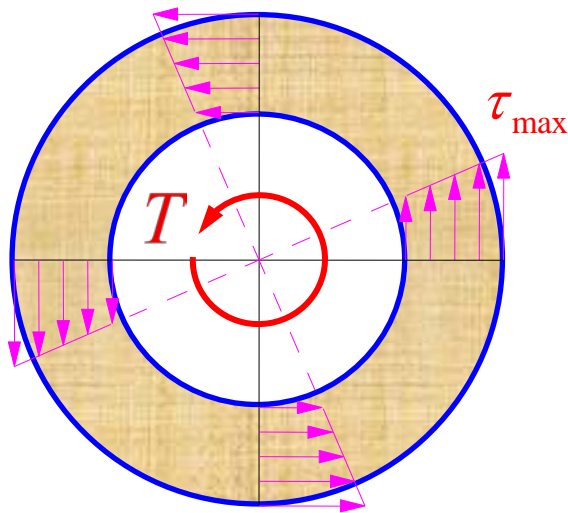
$$\tau_{\rho} = \frac{T \rho}{I_p}$$

$$\tau_{\max} = \frac{T \rho_{\max}}{I_p} = \frac{T}{W_p}$$

$$W_p = \frac{I_p}{\rho_{\max}} \quad \text{抗扭截面系数}$$



横截面

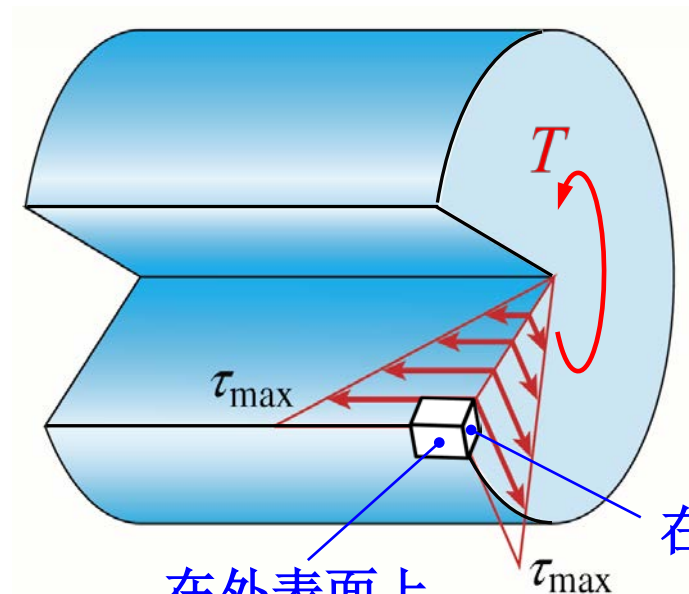


横截面

圆轴扭转时的  
强度条件

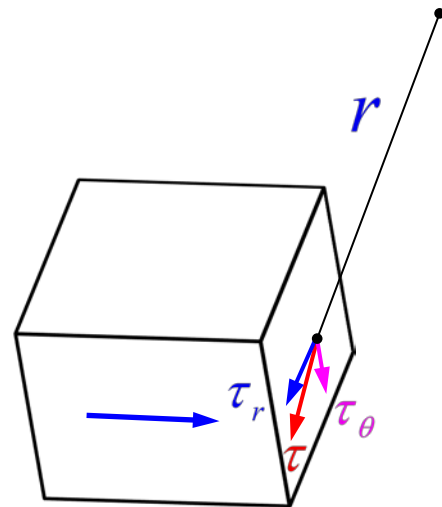
$$\tau_{\max} = \frac{T}{W_p} \leq [\tau]$$

## 切应力方向垂直于半径方向的说明



在外表面上

在横截面上

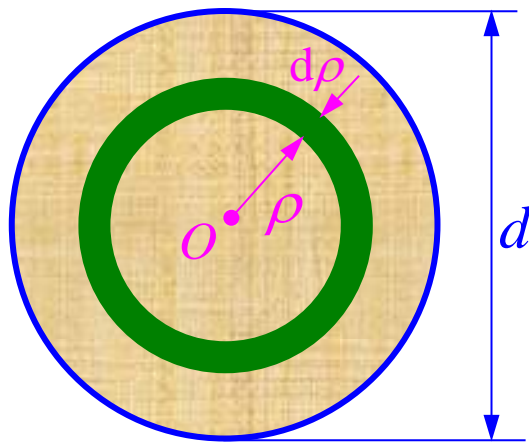


假设切应力 $\tau$ 的方向  
不垂直于半径方向

外直径为 $d$ 的**实心**圆截面：极惯性矩 $I_p$ 和抗扭截面系数 $W_p$

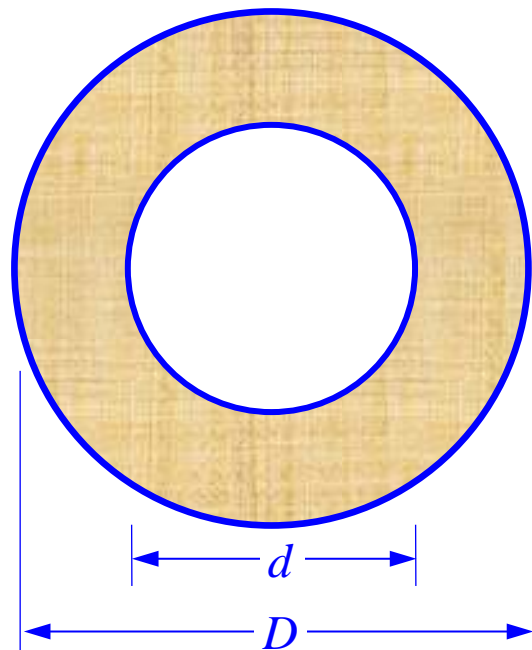
$$\begin{aligned} I_p &= \int_A \rho^2 dA = \int_0^{d/2} \rho^2 2\pi\rho d\rho \\ &= 2\pi \int_0^{d/2} \rho^3 d\rho = 2\pi \frac{(d/2)^4}{4} = \frac{\pi d^4}{32} \end{aligned}$$

$$W_p = \frac{I_p}{\rho_{\max}} = \frac{I_p}{d/2} = \frac{\pi d^3}{16}$$



外直径为 $D$ 、内直径为 $d$ 的空心圆截面：

$$\begin{aligned} I_p &= \int_A \rho^2 dA = \int_{d/2}^{D/2} \rho^2 2\pi \rho d\rho \\ &= \frac{\pi(D^4 - d^4)}{32} = \frac{\pi D^4(1 - \alpha^4)}{32} \\ W_p &= \frac{I_p}{\rho_{\max}} = \frac{I_p}{D/2} \quad \alpha = \frac{d}{D} \\ &= \frac{\pi D^3}{16} (1 - \alpha^4) \end{aligned}$$

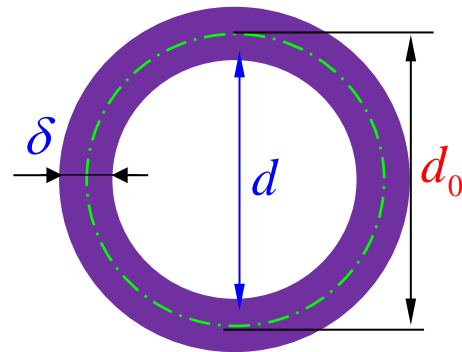


例2 一厚度为30mm、内直径为230mm 的空心圆管，承受扭矩 $T=180\text{kN}\cdot\text{m}$ 。试求管中的最大切应力。1) 用薄壁管的近似理论；2) 用精确的扭转理论。

解：1) 用薄壁管的近似理论

$$\tau_{\text{薄壁}} = \frac{T}{2\pi r_0^2 \delta} = \frac{180 \times 10^3}{2\pi \times 0.13^2 \times 0.03} = 56.5 \text{ MPa}$$

$$d_0 = d + \delta = 230 + 30 = 260 \text{ mm} \quad r_0 = 130 \text{ mm}$$



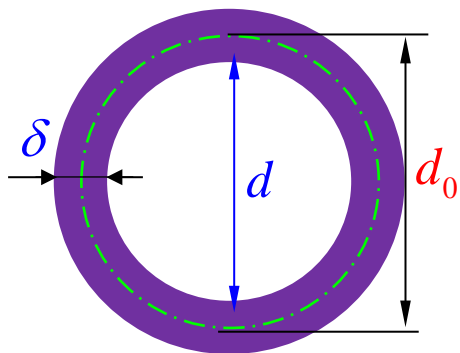
2) 用精确的扭转理论

$$\tau_{\text{max}} = \frac{T}{\frac{\pi D^3}{16} (1 - \alpha^4)} = \frac{180 \times 10^3}{\frac{\pi \times 0.29^3}{16} \left[ 1 - \left( \frac{230}{290} \right)^4 \right]} = 62.2 \text{ MPa}$$

$$D = d + 2\delta = 290 \text{ mm} \quad \text{相对误差 } err = \frac{56.5 - 62.2}{62.2} \times 100\% = -9.16\%$$



## 讨论：薄壁公式的适用条件



应用于工程计算时要求近似理论的解  
与精确解的误差  $< 5\%$ 。

精确解：  $\tau_{\max} = \frac{T}{W_p}$

$$W_p = \frac{\pi D^3}{16} (1 - \alpha^4)$$

$$\alpha = \frac{d}{D}$$

$$(d = d_0 - \delta, D = d_0 + \delta)$$

令  $\beta = \frac{\delta}{d_0}$

$$\tau_{\max} = \frac{T}{W_p} = \frac{T}{\frac{\pi D^3}{16} (1 - \alpha^4)} = \frac{T}{\frac{\pi}{16} (d_0 + \delta)^3 \left[ 1 - \left( \frac{d_0 - \delta}{d_0 + \delta} \right)^4 \right]} = \frac{T}{\frac{\pi}{16} d_0^3 (1 + \beta)^3 \left[ 1 - \left( \frac{1 - \beta}{1 + \beta} \right)^4 \right]}$$

$$\begin{aligned}
\tau_{\max} &= \frac{T}{\frac{\pi}{16} d_0^3 (1+\beta)^3 \left[ 1 - \left( \frac{1-\beta}{1+\beta} \right)^4 \right]} = \frac{T(1+\beta)}{\frac{\pi}{16} d_0^3 \left[ (1+\beta)^4 - (1-\beta)^4 \right]} \\
&= \frac{T(1+\beta)}{\frac{\pi}{16} d_0^3 \left[ (1+4\beta+6\beta^2+4\beta^3+\beta^4) - (1-4\beta+6\beta^2-4\beta^3+\beta^4) \right]} \\
&= \frac{T(1+\beta)}{\frac{\pi}{2} d_0^3 \beta(1+\beta^2)} = \frac{T(1+\beta)}{\frac{\pi}{2} d_0^2 \delta(1+\beta^2)} = \frac{T(1+\beta)}{2\pi r_0^2 \delta(1+\beta^2)} = \frac{1+\beta}{1+\beta^2} \tau_{\text{薄壁}}
\end{aligned}$$

$$\beta = \frac{\delta}{d_0}$$

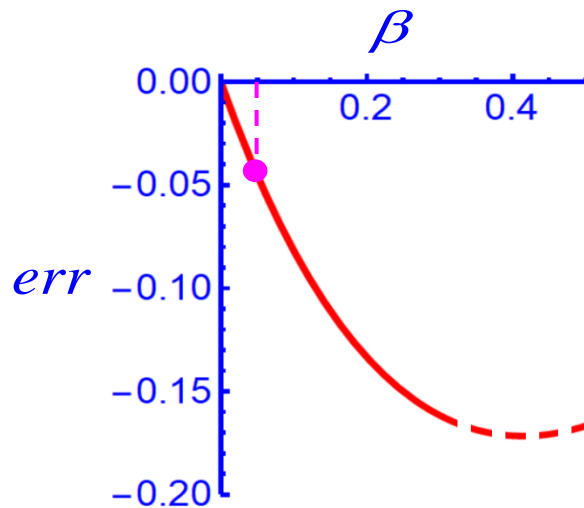
$$err = \frac{\tau_{\text{薄壁}} - \tau_{\max}}{\tau_{\max}} = \frac{\tau_{\text{薄壁}}}{\tau_{\max}} - 1 = \frac{1+\beta^2}{1+\beta} - 1 = \frac{\beta^2 - \beta}{1+\beta} = \frac{\beta(\beta-1)}{1+\beta}$$

$$err = \frac{\beta(\beta-1)}{1+\beta}$$

当  $\beta = \frac{\delta}{d_0} = 0.05$ , 有  $err = -4.52\%$

$$\frac{\delta}{d_0} = 0.05 \leftrightarrow \delta = 0.05d_0 = 0.1r_0 = \frac{1}{10}r_0$$

即当  $\delta \leq \frac{r_0}{10}$ , 可视为薄壁圆筒。



# Thank you !

作业      P. 112: 3.6、3.7  
              P. 113: 3.9

对应第6版的题号: P. 106-107: 3.6, 3.7, 3.9

下次课讲    扭转时的变形  
              非圆截面杆自由扭转